

Odkazy na významné částice

1932: dosud známé: foton, elektron, proton, neutron

1936: objev neutrina (ale již dříve předpověď Pauli)

• kosmické záření: tvorzeno primárně protony, d-částicemi a dalšími jádry ... objeveno V. Hessem (nobelovka 1936) (více v prez. 6, str. 22)

- převážně je o nabité částice → záření ve vlně trajektorie

- při interakcích s jádry N a O ve vzduchu vznikají π^0 a π^\pm mezon, které se dále rozpadají na neutrino a myony, které již pozorujeme na Zemi

$$\pi^\pm \rightarrow \mu^\pm + \nu; \quad \mu^\pm \rightarrow e^\pm + 2\nu; \quad \pi^0 \rightarrow \gamma + \gamma; \quad \gamma \rightarrow e^+ + e^-; \quad e^\pm \rightarrow e^\pm + \gamma$$

- primárně v kosmickém záření obsaženo (80% p^+ , 9% d, 8% n^0 , 2% e^- ; 1% těžká jád.; 0,1% γ) na Zemi dopadá „sekundární záření“ (68% γ , 30% μ^\pm , 2% $p^+ n^0 \pi^\pm$...)

• objev pozitronu (Carl Anderson - nobelovka 1936 společně s Hessem) (obrázek: prez 6, str 23)

- pomocí zážehů z měřené komory

- pozorovaná částice měla kladnou hmotu a proletěla 6 mm olova \Rightarrow nemohlo jít o proton, protože při změřené hybnosti $p = 63 \text{ MeV}$ by se p^+ v olovu zastavil po $3,6 \mu\text{m}$. (dolet se spočte jako $R = \frac{1}{\rho \left(\frac{dE}{dx} \right)_{\min}} \frac{T_K}{T_K + m}$)

- hmotnost částice je možné určit z rovnice $R_{Pb} (p_1 = 63 \text{ MeV}) - R_{Pb} (p_2 = 23 \text{ MeV}) = 6 \text{ mm}$
Lze řešením této rovnice je $M = 61,5 \text{ MeV}$

- řešením je „kladný elektron“, který ztrácí energii během zářením - po průletu má $E_B = E_0 \cdot e^{\frac{L}{X_0}} = 63 \cdot e^{\frac{6}{5,6}} \text{ MeV} = 21,6 \text{ MeV}$ což zhoduje odpovídající hodnotě 23 MeV

• objev myonu $\pi^\pm \rightarrow \mu^\pm + \nu; \quad \mu^\pm \rightarrow e^\pm + \nu + \nu$

- určení hmoty pomocí měření ionizace a hybnosti $p = 200 \text{ MeV}$, ionizace $\frac{dE}{dx} = 4 \left(\frac{dE}{dx} \right)_{\min}$

$\frac{dE}{dx} \approx \frac{1}{\beta^2} \rightarrow \beta = \frac{1}{2} \dots M = \beta \gamma p = 115,5 \text{ MeV}$ (současně je hodnota hmotnosti myonu určena na $105,6 \text{ MeV}$)

- myon se interaguje jadernou silou ← není mezonem předpovězeným Yukawou

• objev pionu (C. Powell - nob. 1950)

- bylo nařezáno $M_\pi = 1,35 \cdot M_\mu$ - současná hodnota $M_\pi \approx 139,6 \text{ MeV}$

- prezentace 6, str. 28-29

• k-meron

- částice s hmotou $\sim 500 \text{ MeV}$ (dnes hodnota 4988 MeV) ... velká hybnost

- částice s hmotou $\sim 100 \text{ GeV}$

- emisní úhel $\theta \approx 17,75^\circ$

Podivné částice

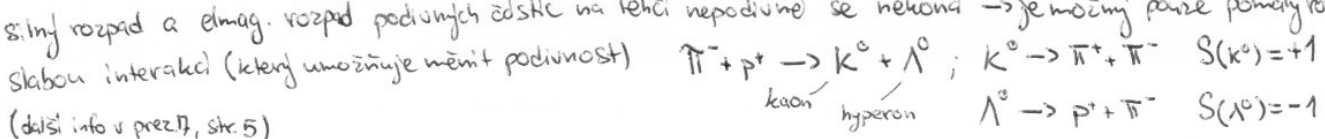
- vznikají v silných interakcích a rozpadají se velmi pomalu \Rightarrow mají dlouhé doby života \Rightarrow bylo je možné objevit

- pro tyto částice se zavádí aditivní kvantové číslo „podivnost S^\pm “ - ta se musí při interakcích zachovávat

- částice mají dostatečnou hmotu, aby se rozpadaly na lehčí hadrony

- v interakcích nepodivných částic tedy musí vzniknout více podivných částic, aby součet podivnosti byl roven nule

- silný rozpad a elektromagnetický rozpad podivných částic na lehčí nepodivné se nekonají \Rightarrow je možný pouze pomocí rozpadu slabou interakcí (kterou umožňuje měnit podivnost)



(další info v prez 7, str. 5)

Elementární částice

- elementární fermiony (spin $1/2$)

- působí elektromagnetickou a slabou interakci

leptony $(\nu_e)(\nu_\mu)(\nu_\tau)(e^-)(\mu^-)(\tau^-)$ a odpovídající antikvarky

kvarky $(u)(c)(t)(d)(s)(b)$ $Q=2/3$
 $Q=-1/3$ a odpovídající antikvarky s $Q=+1/3$
 $Q=-2/3$
 up, down, charm, strange, top, bottom

- intermediální bozony (spin 1) - γ, W^+, W^-, Z^0, g

- Higgsův bozon (spin 0) - H^0

- působí elektromagnetickou, slabou i silnou interakci (gamma zpřestředkování)
 elektromagnetickou interakci, W a Z slabou a gluonům silnou

, kvarky se neuskytají volně, ale tvoří vázané stavy silně interagujících částic - „hadrony“

hadrony \downarrow mezony - mají celočíselný spin a jsou tedy bozony; tvořeny kvarkem a antikvarkem

baryony } mají poliččí celý spin = fermiony; mají baryonové číslo $\begin{cases} +1 \text{ baryony} - \text{tvořeny 3 kvarky} \\ -1 \text{ antibaryony} - \text{tvořeny 3 antikvarky} \end{cases}$

• Fermiho-Diracův model - piony jsou vázáné stavy nukleonu a antinukleonu

• Sakataův model (předchůdce kvarkového modelu), částice složené ze Sakatonů)

• proton (p) ... náboj $Q=+1$, podivnost $S=0$, baryon. číslo $B=1$ \rightarrow mezony $\pi^+ = p + \text{anti-}n$

• neutron (n) ... náboj $Q=0$, $S=0$, $B=1$

• hyperon (Λ) ... náboj $Q=0$, $S=-1$, $B=1$

$k^+ = p + \text{anti-}n$

baryony $\Sigma^+ = \Lambda + p + \text{anti-}n$
 $\Xi^- = \Lambda + \Lambda + \text{anti-}p$

- problém nastal po objevení baryonu Ω s podivností -3 , protože Sakataův model umožňuje pouze $S=-2$

$\Omega^- \rightarrow \pi^- + \Xi^0 \rightarrow (\pi^-) + \bar{\pi}^0 + \Lambda^0 \rightarrow (\pi^- + \bar{\pi}^0) + \bar{\pi}^0 + p^+$; $\bar{\pi}^0 \rightarrow \gamma + \gamma$

$$\text{podivnost} \\ Y = B + S_{\text{hyperonu}}$$

Izospin a hypernaboj: (viz přez 7, str 10-11) nejsípš není součástí otázký

- vztah mezi třetí složkou izospinu a nábojem $Q = T_3 + \frac{B}{2}$ - baryonové číslo; pro podivné mezony a baryony platí $Q = T_3 + \frac{Y}{2}$

Gell-Mann a Zweig - kvarky

• uvrhli, že baryony jsou složeny ze 3 kvarků; kvarky mají baryonové číslo $B=1/3$ a také náboj $|Q|=1/3$ nebo $2/3$

- nejlehčí kvarky a antikvarky

- mezony = kvark + antikvark = 3×3 možností kombinace

vytvázejí oktet a singlet (obrázky prez. 7. str. 15)

$$T_3 \quad S \quad B \quad Y=B+S \quad Q=T_3+\frac{Y}{2}$$

$$u: +1/2 \quad 0 \quad +1/3 \quad +1/3 \quad +2/3$$

$$d: -1/2 \quad 0 \quad +1/3 \quad +1/3 \quad -1/3$$

$$s: 0 \quad -1 \quad +1/3 \quad -2/3 \quad -1/3$$

$$\bar{u}: -1/2 \quad 0 \quad -1/3 \quad -1/3 \quad -2/3$$

$$\bar{d}: +1/2 \quad 0 \quad -1/3 \quad -1/3 \quad +1/3$$

$$\bar{s}: 0 \quad +1 \quad -1/3 \quad +2/3 \quad +1/3$$

- baryony = 3kvarky = $3 \times 3 \times 3$ možností vytvářející dekuplet, dva

oktesy a jeden singlet (obrázky prez. 7 str. 22-23)

Pseudoskulární mezony

- mezony jsou tvořeny kvarkem a antikvarkem, kvarky mají spin $1/2 \Rightarrow$ výsledný spin mezonu může být $\{0, 1\}$

- celkový moment hybnosti J je dán součtem spinu S a orbit. momentu L dvojice kvark-antikvark

- parita je součin (vnitřní) parity kvarku a antikvarku a parity kulové funkce popisující vzdálenost pohyb

- pro nejlehčí mezony je $L=0, S=0 \Rightarrow J=0$ a parita $P=-1$ (pozn: parita kverku je +1 a antikverku -1)
- nábojová parita C , definovaná jako $C=P \cdot (-1)^{S+1}$ je tedy pro nejlehčí mezony $C=-1 \cdot (-1)^{0+1}=-1$ ②-③
- $C=\text{vlastní stavy operátora nábojového sdružení}$, pro spin = 1 je $C=P$, pro spin = 0 je $C=-P$

triplet π -mezony (prez. 8, str. 19-21)

- π^+, π^-, π^0 ; $\pi^+ = |u(-\bar{d})\rangle$; $\pi^- = |\bar{d}u\rangle$; $\pi^0 = \frac{1}{\sqrt{2}}(|u\bar{u}\rangle + |\bar{d}\bar{d}\rangle)$
- dominantní rozpad $\pi^+ \rightarrow \mu^+ + \nu_\mu$ (nastává v 99,9%) , rozpad $\pi^- \rightarrow e^- + \nu_e$ je silně potlačen ($1,2 \cdot 10^{-4}\%$)
- střední doba života $\tau = 26\text{ ns}$; $c\tau = 7,8\text{ metrů}$ (elektron je mnohem relativistický než mion)
- hmotnost $m_{\pi^\pm} = 140\text{ MeV} > m_{\mu^\pm} = 106\text{ MeV}$ stř. volného druhu
- spin pionu je nula a preferovaný způsob orientace je $\begin{array}{c} \pi^+ \\ \leftrightarrow \\ \text{spin} \end{array} \circ \begin{array}{c} \pi^- \\ \leftrightarrow \\ \text{spin} \end{array} \begin{array}{c} \mu^+ \\ \leftrightarrow \\ \text{spin} \end{array}$ nebo naopak
- natočení spinu souvisí s chirality, helicitou (projekce spinu na směr pohybu) a zákl. zachování mom. hybnosti
- π^0 se z 99,8% rozpadá na 2 γ , jeho $c\tau = 25\text{ nm}$, je lehčí než nabité piony

Eta mezon $m_{\eta^0} = 548\text{ MeV}$; $c\tau = 0,15\text{ nm}$ (prez. 8, str. 21)

$$\begin{array}{l} \eta^0 \rightarrow \gamma^+ + \gamma^- : 33\% \\ \downarrow \\ 3\pi^0 : 33\% \\ \downarrow \\ \pi^+ + \pi^- + \pi^0 : 23\% \\ \downarrow \\ \pi^+ + \pi^- + \gamma : 5\% \end{array} \quad \eta^0 = \frac{1}{\sqrt{6}}(|u\bar{u}\rangle + |\bar{d}\bar{d}\rangle - 2|\bar{s}s\rangle)$$

K-mezony - nabité (prez. 8, str. 21)

$$K^+ = |u\bar{s}\rangle \quad K^- = |\bar{d}s\rangle$$

$$m_{K^\pm} = 494\text{ MeV}, \tau = 12\text{ ns}; c\tau = 3,7\text{ m}$$

- probíhají čistě leptónové rozpady, semi-leptónové a čistě hadronové rozpady
- celkový orbitalní moment rozpadu K na piony je 0
- rozpad na elektron je potlačen ještě mnohem více než pro piony ($\sim 1,6 \cdot 10^{-5}\%$), kaon je těžší, tehdy vzdálený elektron by měl rychlosť téměř rovnou světu

$$\begin{array}{l} \text{hadronové: } K \rightarrow \pi^0 + \pi^- (21\%) \\ K \rightarrow \pi^+ + \pi^- + \pi^0 (7,5\%) \end{array}$$

$$\text{leptónové: } K \rightarrow \mu^+ + \nu_\mu (63\%)$$

$$\begin{array}{l} \text{semi-leptónové: } K \rightarrow \pi^0 + e^- + \nu_e (5\%) \\ K \rightarrow \pi^0 + \mu^- + \nu_\mu (3\%) \end{array}$$

- rozpad na více než 3 piony není možný, protože $494\text{ MeV} < 4 \times 140\text{ MeV}$

- parita se ve slabých rozpadech nerachovává: $P_{(K \rightarrow 2\pi)} = \frac{1}{2}$; $P_{(K \rightarrow 3\pi)} = -1$ (více prez. 8, str. 23-27)

K-mezony - neutrální (prez. 9, str. 2)

$$K^0 = |\bar{d}s\rangle; \bar{K}^0 = |s(-\bar{d})\rangle$$

- experimentálně byly objeveny dva různé K⁰ mezony, označují se K_S^0 (short): $c\tau = 2,7\text{ cm}$, rozpadá se na 2 piony
 $m_{K^0} = 498\text{ MeV}$
- K_L^0 (long): $c\tau = 15,3\text{ m}$, rozpadá se na 3 piony

- čistě leptónové rozpady K^0 jsou silně potlačeny (tj. rozpad na $\mu^- + \nu_\mu$)

- čistě hadronové rozpady - nelze rozlišit, jestli se rozpadl K^0 nebo \bar{K}^0 (kaon a antikaon)

- semi-leptónové rozpady - lze odlišit K^0 a \bar{K}^0

- K^0 se může pomocí slabé interakce

- změnit na \bar{K}^0 (a naopak) využít dvou intermediálních bosonů W

$$\begin{array}{l} K^0 \rightarrow \pi^+ + \pi^- \\ K^0 \rightarrow \pi^0 + \pi^0 \\ K^0 \rightarrow \pi^+ + \pi^- + \pi^0 \\ K^0 \rightarrow \pi^0 + \pi^0 + \pi^0 \\ \hline \bar{K}^0 \rightarrow \pi^+ + \mu^- + \nu_\mu \\ \bar{K}^0 \rightarrow \pi^+ + e^- + \nu_e \end{array}$$

Baryony

- jsou složeny ze 3 kvarkuů, nejmenší mají orbitální moment $L=0$
- spin trojice kvarkuů může být buď $1/2$ (oktet) nebo $3/2$ (dekuplet)
- vlnová funkce fermionů sestává z částí odpovídající spinem a částí odpovídající vnitřní kvarku - tyto dve části jsou ale symetrické, vlnová funkce musí být ale antisymetrická (pozadavek kvantové mechaniky) \Rightarrow zavádí se dodatečná, antisymetrická část odpovídající kvantovému číslu „barva“
- obecně mohou existovat pouze takové vlnové funkce kvarkuů, které jsou celkově bezbarvé (= mají antisym. barevnou část)

OKTET BARYONŮ $J^P = \frac{1}{2}^+$ (prez. 9, str. 35-43)

$n = ddu\rangle$, $M_n = 939,57 \text{ MeV}$, $n \rightarrow p + e^- + \bar{\nu}_e$, $S=0$	baryony s podivností nula
$p = duu\rangle$, $M_p = 938,27 \text{ MeV}$, $S=0$, $p \rightarrow n + e^+ + \nu_e$	
$\Sigma^- = dds\rangle$, $M_{\Sigma^-} = 1197 \text{ MeV}$, $\Sigma^- \rightarrow n + \pi^-$, $S=1$	podivnost jedna
$\Sigma^0 = dus\rangle$, $M_{\Sigma^0} = 1193 \text{ MeV}$, $\Sigma^0 \rightarrow p + \pi^0$, $\Sigma^+ \rightarrow n + \pi^+$, $S=-1$	
$\Xi^0 = uss\rangle$, $M_{\Xi^0} = 1189 \text{ MeV}$, $\Xi^0 \rightarrow \Lambda^0 + \pi^0$, $S=-1$	podivnost -dva
$\Xi^+ = uds\rangle$, $M_{\Xi^+} = 1321 \text{ MeV}$, $\Xi^+ \rightarrow \Lambda^0 + \pi^+$, $S=-2$	
$\Xi^0 = uss\rangle$, $M_{\Xi^0} = 1314 \text{ MeV}$, $\Xi^0 \rightarrow \Lambda^0 + \pi^0$, $S=-2$	

DEKUPLET BARYONŮ $J^P = \frac{3}{2}^+$

$\Delta^0 = ddd\rangle$, $S=0$
$\Delta^0 = ddu\rangle$, $S=0$
$\Delta^+ = duu\rangle$, $S=0$
$\Delta^{*-} = uuu\rangle$, $S=0$
$\Sigma^{*-} = dds\rangle$, $S=-1$
$\Xi^{*-} = uds\rangle$, $S=-1$
$\Xi^{*0} = uss\rangle$, $S=-1$
$\Xi^{*-} = dsu\rangle$, $S=-2$
$\Xi^{*0} = uss\rangle$, $S=-2$
$\Omega^- = sss\rangle$, $S=-3$

- silná interakce

Anomální magnetický moment (protonu a neutronu)

- kdyby proton a neutron byly element. částice, mely by magnet. momenty rovné Bohrovu magnetomu - experimentálně ale byly zjištěny odlišné hodnoty \Rightarrow jako má elektron
- částice mají vlastní magnetický moment, který souvisí s jejich spinem, magnet. moment mívají kvantované hodnoty
- tato vlastnost lze objasnit kvarkovou strukturou
- $\mu_p = 2,79 \cdot \mu_B$; $\mu_n = -1,91 \cdot \mu_B \Rightarrow \frac{\mu_p}{\mu_n} = -1,46$
- tato anomalie se tedy vysvětluje sběrem p^+ a n z kvarku
- $\vec{\mu} = \frac{e}{m} \vec{S} \xrightarrow{S=\frac{1}{2}} \frac{e\hbar}{2m}$
- výsledky jsou citlivé na konkrétní tvor vlnové funkce, je třeba, aby pro stanovení spinu a „vnější“ část byla symetrická a barevná část upíně asymetrická

Nonet vektorových mezonů

- Oktet + Singlet mezonů \rightarrow nonet vektorových mezonů s $J^P = \frac{1}{2}$ (prez. 10. str. 2)

- vektorové mezonové rezonance
- nonet obsahuje vektorové hezony (viz. obrázek)
- preferovaný způsob rozpadu je na dva podivné mezony
- rozpad na nepodivné částice silně potlačen

- ρ^-, ρ^0, ρ^+ ; $m(\rho) = 770 \text{ MeV}$
 $\rho^- \rightarrow \pi^-\pi^+$ (100%)
- w^0 ; $m(w) = 783 \text{ MeV}$
 $w \rightarrow \pi^+\pi^-$ (89%)
 $\downarrow \pi^+\pi^-$ (2%)
 $\downarrow \pi^+\eta$ (8%)
- ϕ^0 ; $m(\phi) = 1019 \text{ MeV}$
 $\phi^0 \rightarrow K^0\bar{K}^0$ (83%)
 $\downarrow \pi^+\pi^-\pi^0$ (15%)

OKTET BARYONÜ

$n = |ddu\rangle$, $M_n = 939,57 \text{ MeV}$, $n \rightarrow p + e^- + \bar{\nu}_e$, $S=0$

$p = |duu\rangle$, $M_p = 938,27 \text{ MeV}$, $S=0$

$\Sigma^- = |dds\rangle$, $M_{\Sigma^-} = 1197 \text{ MeV}$, $\Sigma^- \rightarrow n + \pi^-$, $S=-1$

$\Sigma^0 = |dus\rangle$, $M_{\Sigma^0} = 1193 \text{ MeV}$, $\Sigma^+ \rightarrow p + \pi^0$, $\Sigma^+ \rightarrow n + \pi^+$, $S=-1$

$\Sigma^+ = |uss\rangle$, $M_{\Sigma^+} = 1189 \text{ MeV}$, $\Sigma^+ \rightarrow \Lambda^0 + \gamma$, $S=-1$

$\Xi^- = |dss\rangle$, $M_{\Xi^-} = 1321 \text{ MeV}$, $\Xi^- \rightarrow \Lambda^0 + \pi^-$, $S=-2$

$\Xi^0 = |uss\rangle$, $M_{\Xi^0} = 1319 \text{ MeV}$, $\Xi^0 \rightarrow \Lambda^0 + \pi^0$, $S=-2$

DEKUPLET BARYONÜ

$\Delta^{-1} = |ddd\rangle$, $S=0$

$\Delta^0 = |ddu\rangle$, $S=0$

$\Delta^+ = |duu\rangle$, $S=0$

$\Delta^{*+} = |uuu\rangle$, $S=0$

$\Sigma^{*-} = |dds\rangle$, $S=-1$

$\Sigma^{*0} = |dus\rangle$, $S=-1$

$\Sigma^{*+} = |uss\rangle$, $S=-1$

$\Xi^{*-} = |dss\rangle$, $S=-2$

$\Xi^{*0} = |uss\rangle$, $S=-2$

$\Omega^- = |sss\rangle$, $S=-3$

Těžké kvarky

- Objev kvarku charmu (nobelovka 1976) $m_c = 1270 \text{ MeV}$ J/ψ

- byla objevena nová částice, nazývaná charmonium $J\text{-psi}$ složená z charm kvarku a anti-charm kvarku
- preferovaně bylo rozpadalo na dva původní mezony D^+ a \bar{D}^- , ale $(m_{D^+} + m_{\bar{D}^-}) > m_{J/\psi} \Rightarrow$ rozpad není možný
- rozpad J/ψ na nepůvodní částice je siře potlačen
- poměrně častý (~12%) je také rozpad pomocí elektromagnetické interakce: $J/\psi \rightarrow e^+ + e^-$ (6%)
- objeveno ve 2 nezávislých experimentech (prez. 10, str. 7)

$\Rightarrow 4$ kvarky \Rightarrow pseudo skalarních mezonů může být $4 \times 4 = 15 + 1$

- přibývají nové mezony D s hmotností $\sim 26 \text{ GeV}$

$$\begin{array}{l} D^0 = c\bar{u} \\ \bar{D}^0 = \bar{c}u \end{array} \quad m = 1865 \text{ MeV}; C\bar{C} = 125 \mu\text{m}$$

$$\begin{array}{l} D^+ = c\bar{d} \\ \bar{D}^- = \bar{c}\bar{d} \end{array} \quad m = 1869 \text{ MeV}; C\bar{C} = 317 \mu\text{m}$$

$$\begin{array}{l} D_s^+ = c\bar{s} \\ \bar{D}_s^- = \bar{c}s \end{array} \quad m = 1869 \text{ MeV}; C\bar{C} = 140 \mu\text{m}$$

nejpravdepodobnější přeměna c-kvarku je na s-kvark

$$c \rightarrow s + W^+$$

$$\bar{c} \rightarrow \bar{s} + W^-$$

proto se D -mezony rozpadají převážně na K -mezony

$$D^- \rightarrow K^0 + \pi^- \text{ atp.}$$

kvantovou číslo kvarku

kvark	c	b	t
rdboj Q	+2/3	-1/3	+2/3
izospin T	0	0	0
polohuost S	0	0	0
charmnoss	1	0	0
bottomness	0	-1	0
topness	0	0	1

- Objev botomia a b-kvarku (bottom) $m_b = 4200 \text{ MeV}$

- objeven 1977 ve Fermilabu kolizi produkující botonium (bottomonium)
- rozpadá se slabou interakcí na u-kvark, nebo c-kvark

\Rightarrow nové B-mezony a B-baryony (viz. prez. 10, str. 12-13)

- Objev top kvarku $m_t = 175 \text{ GeV}$

- objeven na urýchlovači Tevatron v USA (sraženy protony a antiprotony)

- top-kvark je těžší než W boson a okamžitě se na něj rozpadá \Rightarrow neexistují mezony a baryony obsahující t-kvark

$$m_t = 175 \text{ GeV} > m_W = 80 \text{ GeV} + m_b \approx 46 \text{ GeV} \quad t \rightarrow W + b; W \rightarrow \mu^+ + \nu_\mu$$

- top kvark je produkovaný zejména v párech (t, \bar{t}) silnou interakcí kvarků a gluonů

- rozpadá se na intermediální boson W a bottom kvark, doba života je pouze $C\bar{C} = 0,15 \text{ fm}$ ($1 \text{ fm} \sim$ rozměr protonu)

- doba života je kratší než doba potřebná k formování vazaného stavu s jiným kvarkem \Rightarrow neexistují mezony a baryony obsahující t-kvark

Zweigovo pravidlo a kvarkomia

- týká se momentu vektorových mezonů

- kvarkomia složená z kvarků a anti-kvarků se rozpadají na částice, které nutně obsahují také tyto kvarky

- např. ϕ -meron je složen z s a \bar{s} kvarků a rozpadá se na podivinné mezony K^+ a K^- , rozpad sounásl. s barvami kvarků (protože s a \bar{s} mají stejnou barvu a antibarvu)

\Rightarrow je potlačen rozpad ϕ na nepodivinné částice z důvodu barevnosti „Zweigovo pravidlo“

Feynmannovy diagramy

- Feynmannovu diagramu odpovídá výraz pro matkový element a výsledek průřez je pak úměrný kvadratu tohoto matic. elementu
- A_{121}
- B_{22}
- $\vec{q} = \vec{P}_3 - \vec{P}_1 = \vec{P}_2 - \vec{P}_4$
- $V(r) = d_{21} d_{22} \frac{\hbar c}{r} e^{-\frac{mr}{\hbar c}}$; $V(\vec{q}) = \int e^{i\vec{q}\cdot\vec{r}} V(r) d^3 r$
- $\Rightarrow V(\vec{q}) = (\hbar c)^3 \frac{4\pi d_{21} d_{22}}{q^2 + m^2} = (\hbar c)^3 \underbrace{\sqrt{4\pi d_{21}}}_{\sqrt{4\pi d_{22}}} \frac{1}{q^2 + m^2} \cdot \sqrt{4\pi d_{22}}$
- $M \approx \sqrt{4\pi d_{21}} \frac{1}{q^2} \sqrt{4\pi d_{22}}$
- $\text{rozptyl } \Gamma \approx |M|^2 \approx d_{21}^2 d_{22}^2 \frac{1}{q^4} = d_{21}^2 d_{22}^2 \frac{1}{t^2} \quad \left(\frac{1}{q^2} \rightarrow \frac{1}{t} \right)$

(5)

M

$$\vec{q} = \vec{P}_3 - \vec{P}_1 = \vec{P}_2 - \vec{P}_4$$

elmag. interakce \Rightarrow intermediárium
bozorem je γ

$$\text{rozptyl: } \frac{d\sigma}{d\Omega} = \frac{E^2}{4\pi^2 (\hbar c)^4} \left| \int e^{i\vec{q}\cdot\vec{r}} V(r) d^3 r \right|^2$$

Interakce mezi částicemi $A+B \rightarrow A+B$

- vrcholy určují stupeň interakce
- propagátor: určuje totální interakce ($\frac{1}{r}$)
- vnější linie: odpovídají reálným částicím

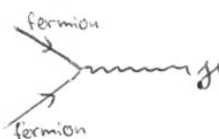
$$V(r) = d_{21} d_{22} \frac{\hbar c}{r} e^{-\frac{mr}{\hbar c}}$$

$$\Rightarrow V(\vec{q}) = (\hbar c)^3 \frac{4\pi d_{21} d_{22}}{q^2 + m^2} = (\hbar c)^3 \sqrt{4\pi d_{21}} \frac{1}{q^2 + m^2} \cdot \sqrt{4\pi d_{22}}$$

$$= \sqrt{4\pi \frac{e^2}{4\pi E_0 \hbar c}} d_{21} = \frac{2e}{\sqrt{8\pi \hbar c}}$$

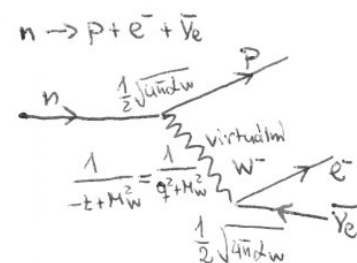
$$\text{rozptyl } \Gamma \approx |M|^2 \approx d_{21}^2 d_{22}^2 \frac{1}{q^4} = d_{21}^2 d_{22}^2 \frac{1}{t^2} \quad \left(\frac{1}{q^2} \rightarrow \frac{1}{t} \right)$$

- výpočet elmag. interakce lze vyjádřit pomocí



(viz. příklady prez. 8 str. 6-9)

Slabé interakce (podobnost s elmag.)



$$dw = \frac{dt}{\sin^2 \theta_W} = \frac{\lambda}{137 \sin^2 \theta_W}$$

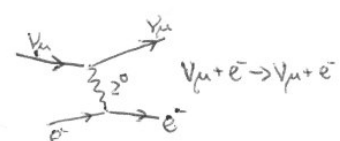
$$\Rightarrow M_W \approx \frac{37,4 \text{ GeV}}{\sin \theta_W} \geq 37,4 \text{ GeV}$$

$$\frac{1}{\sqrt{2}} G_F = \lim_{q^2 \rightarrow 0} \frac{1}{4} \frac{4\pi dt}{q^2 + M_W^2} = \frac{\pi dt}{M_W^2} \rightarrow M_W = \sqrt{\frac{\pi dt}{\sqrt{2} G_F}}$$

$$\text{"směšované úhly" - určení měřením slabých proudů}$$

$$\cos(\beta_W) = \frac{M_W}{M_{20}} \rightarrow M_{20} = \frac{M_W}{\cos(\beta_W)} \approx \frac{37,4 \text{ GeV}}{\sin(\beta_W) \cos(\beta_W)}$$

$$\left. \begin{array}{l} M_2 = 91,15 \text{ GeV} \\ M_W = 80,23 \text{ GeV} \end{array} \right\}$$



- poř. slabých a neutrálních proudů prostřednictvím W a Z viz prez. 8 str. 10-13

- slabá interakce je slabá při malých energiích, protože je zprostředkována velmi těžkými částicemi
- variabilní konstanta slabé interakce je srovnatelná s variabilní konstantou elmag. interakce (konst. slabé interakce je trochu větší)
pozn: gravitační interakce je mnohem slabší než ostatní, a proto ji zanedbáváme
- vzhledem ke slabým nabíjím proudům (interakce s ujemnou W) tvorí leptony i kوارky 3. "rodiny"
- u leptonů nejsou přechody mezi rodinami dovoleny (leptonové číslo se zachovává po rodinách) prez. 8. str. 15.
- u kuaruků jsou přechody povoleny, ale jsou silně potlačeny

Intermediární bozory W a Z

- objeveny v proton-antiprotonových reakcích
- energie potřebná k vytvoření (prez. 12, str. 2-7)

- W : $\Gamma_W \approx 2,085 \text{ GeV}$ - objeven v experimentech UA1 a UA2 v CERNu
- $W \rightarrow q\bar{q}$ (66%) - nutné srovnávat s odpovídajícími srovnáváním
- $W \rightarrow l\nu_l$ (33%) - hmotnost W je srovnána s energií leptonu (přesné neutrino) a směrem vektorů jehojet

$$u + \bar{d} \rightarrow W^+ \quad u + \bar{u} \rightarrow Z^0$$

$$d + \bar{u} \rightarrow W^- \quad d + \bar{d} \rightarrow Z^0$$

$$Z^0: \Gamma_Z \approx 2,56 \text{ GeV}$$

$$Z^0 \rightarrow q\bar{q} \quad (70\%)$$

$$Z^0 \rightarrow l\bar{l}^+ \quad (10\%)$$

$$Z^0 \rightarrow \nu\bar{\nu} \quad (20\%)$$

- částice s nejkratším (zatím) dobaživotia
- reakce na neutrino nejsou v detektorech všebe vidět, ale dají se energetické doplnit
- také objeveno při UA1 a UA2
- \Rightarrow existují produkty 3. "rodiny" neutrín
- \Rightarrow existuje-li symetrie mezi počtem rodin kuaruků a leptonů, např. 4. rodinu kuaruků ff

Nezachování P-parity (nobelovka Yang a Lee 1957)

(6)

- parita se zachovala v elmag. a silných rozpadech a interakcích, ale nezachovala ve slabých

$$\begin{aligned} K^+ \rightarrow \pi^+ + \pi^0 &\Rightarrow P_K = +1 \\ K^+ \rightarrow \pi^+ + \pi^+ + \pi^- &\Rightarrow P_K = -1 \end{aligned} \quad \left. \begin{array}{l} \text{ale přitom jde o stejný } K^+ \dots \text{ situaci by šlo zachovat, kdyby např. K rozpadl se na } 3\pi \\ \text{byl jinou částicí a měl spin=1} \end{array} \right.$$

- Další diagram (viz prez. 8, str. 25-27) \Rightarrow parita je v rozpadech K shodně naměšena
 - součet délek helmic na strany Δ z lib. umístěního bodu je konst. a roven $y_3 \Delta$
 - povolené jsou ale pouze některé umístění tří body, kde zákon zachován

• operator parity

písmo na: radikální vektory : změna znaménka: $\vec{r}, \vec{p} \rightarrow -\vec{r}, -\vec{p}$
 axialní vektory : nezpísmot znaménko: $\vec{L} = \vec{r} \times \vec{p} \rightarrow \vec{L} = (-\vec{r}) \times (-\vec{p}) = \vec{r} \times \vec{p}$
 skálárni veličiny : nezpísmot znaménko: $\vec{p} \cdot \vec{r} \rightarrow (-\vec{p}) \cdot (-\vec{r}) = \vec{p} \cdot \vec{r}$
 pseudoskálárni vel. : změna znaménka: $\vec{p} \cdot \vec{\jmath} \rightarrow -\vec{p} \cdot \vec{\jmath}$

• nezachování parity v β (prez. 8, str. 30-31)

- můžeme měřit počet vyletujících elektronů ve směru spinu a proti směru spinu
- pokud se má parita zachovávat, musíme v obou směrech naměřit stejný počet
- elektronů proti směru spinu je ale víc, neboť elektrony produkované ve slabých interakcích jsou převážně levotočivé (spin orientovaný proti směru jejich pohybu) a anti-neutrino jsou pravotočivá
- \Rightarrow parita se nezachovává

• nezachování v rozpadech mionů $\mu^+ \rightarrow \mu^+ + \nu_\mu$; mion se rozpadl $\mu^+ \rightarrow e^+ + \nu_e + \bar{\nu}_\mu$

- pozitrony s maximální energií vyletují ve směru spinu kladného mionu (tj. leh. opačně než neutrino)

- pion musí mít spin orientovaný proti směru pohybu

- projekce spinu vznikajících neutrín do drahomady nula \rightarrow i když pozitron je shodný se směrem pionu

- pozitron leh. proti směru spinu $\mu^+ \Rightarrow$ parita nemí zachována

- zachovává se ale „kombo nové parita“: $CP = \text{parita} \cdot \text{nabojové sdružení}$ (znaménka částeček za antičásticemi)

$\mu^+ \rightarrow e^+ + \nu_e + \bar{\nu}_\mu \quad \left. \begin{array}{l} \text{ve směru spinu kladného mionu vyletí stejně pozitron jeho elektronem} \\ \text{proti směru spinu zdrojného mionu} \end{array} \right.$

$\mu^- \rightarrow e^- + \bar{\nu}_e + \nu_\mu \quad \left. \begin{array}{l} \text{ve směru spinu kladného mionu vyletí stejně pozitron jeho elektronem} \\ \text{proti směru spinu zdrojného mionu} \end{array} \right.$

- pozn: po objevu K^0 bylo zřejmé, že se ani CP nezachovává...
- pozn: C-parita a operator nabojového sdružení Člástice \rightarrow Člástice (viz. prez. 8 str. 32)
- pozn: T-parita a operator časové inverze $T(a) \rightarrow (a)$; T-parita zachována v silných a elmag. interakcích a opět porušena ve slabých (prez. 8. str. 32)

Parita pro K^0 -meromy (v následujícím prez. 9, str. 1-6 uváděno)

• oscilace K^0 meromu

- silná a elektromag. interakce nemohou měnit vnitřní kvarků, to je možné jen skrze interakci zprostředkovávanou bosonem W^\pm
- pokud by tato interakce nebyla, pak by K^0 a \bar{K}^0 existovaly jeho částice a antičástice se stejnou hmotou a dobou života
- protože jsou ale neutrální, může se K^0 měnit na \bar{K}^0 (a naopak) s pomocí ujmívých intermediárních bosonů W
- tyto interakce lze zapsat pomocí Hamiltoniánu (prez. 9, str. 7-9)
- projekty nezachování CP v rozpadech K^0 (viz. str. 7-12) a taky (12-17)
 - pokud se CP nezachovává, pak K^0 nemí stavem s $CP=-1$ a může se rozpadit až do stavu s $CP=+1$
 - pak K^0 neobsahuje stejně meromu K^0 a \bar{K}^0 tj. stejně rozpadl na lepton a na záporný leptón
 - pokud se CP zachovává, nemůže se K^0 rozpadat na dva piony (více viz. str. 17-20)

mion nebo
elektron